

مجله علمی پژوهشی مکانیک سازه‌ها و شاره‌ها

شبیه‌سازی آزمون‌های شکست مود ترکیبی با استفاده از روش المان محدود توسعه یافته

علی عباس زاده بیدختی^{۱*}، امیر رضا شاهانی^۲

^۱دانشجوی دکترای مهندسی مکانیک، دانشگاه صنعتی خواجه نصیرالدین طوسی، تهران

^۲استاد، مهندسی مکانیک، دانشگاه صنعتی خواجه نصیرالدین طوسی، تهران

تاریخ دریافت: ۱۳۹۲/۰۵/۰۳؛ تاریخ بازنگری: ۱۳۹۳/۰۲/۰۳؛ تاریخ پذیرش: ۱۳۹۳/۰۲/۲۹

چکیده

در این پژوهش، یک نمونه آزمون مود ترکیبی شکست، با استفاده از روش المان محدود توسعه یافته، شبیه‌سازی می‌شود. بدین منظور، نمونه‌ای با نام "ورق مربعی با بارگذاری قطری" انتخاب شده که برای آن، نتایج آزمون‌های تجربی موجود است. فرایند بارگذاری قبل از شکست، لحظه شکست و رشد ترک در قطعه، شبیه‌سازی شده و بارگذاری به صورت جایگایی کنترل در نظر گرفته شده است. مدل‌سازی انجام شده مبتنی بر واقعیت بوده، در هر مرحله از تحلیل، با استفاده از معیارهای شکست، زاویه و مقدار رشد ترک تعیین شده است. همچنین برای شبیه‌سازی آزمون‌های مختلف، از یک مدل با مش‌بندی ثابت استفاده شده که در نتیجه هزینه‌های محاسباتی به شدت کاهش یافته است. همچنین انگرال‌گیری عددی در المان‌های غنی شده مورد بررسی قرار گرفته و با تحلیل تأثیر تعداد نقاط گاؤس در این المان‌ها بر پارامتر شکست، تعداد نقاط گاؤس بهینه، تعیین گردیده است. مقایسه نتایج شبیه‌سازی، به روش المان محدود توسعه یافته با میانگین داده‌های آزمون‌های تجربی، نشان می‌دهد بار بحرانی و ضرایب شدت تنش در لحظه شکست قطعات، کمتر از ۵ درصد اختلاف دارند. همچنین مسیر رشد ترک در آزمون‌های تجربی و تحلیل‌های المان محدود توسعه یافته مقایسه می‌شود. مشاهده می‌شود که بین نتایج مسیر رشد ترک، تطابق خوبی وجود دارد.

کلمات کلیدی: ورق مربعی با بارگذاری قطری؛ مود ترکیبی شکست؛ المان محدود توسعه یافته.

Modeling of Mixed Mode Fracture Tests Using Extended Finite Element Method

A. Abbaszadeh Bidokhti^{1,*}, A. R. Shahani²

¹PhD Student, Mech. Eng., K.N. Toosi Univ of Tech., Tehran, Iran

²Prof., Mech. Eng., K.N. Toosi Univ of Tech., Tehran, Iran

Abstract

In the present study, a mixed mode fracture specimen was simulated by the extended finite element method. For this, a specimen called "Diagonally loaded square plate" was selected. For this specimen, experimental test results are available. The loading process including the fracture and crack growth is simulated. Displacement control loading is considered. The crack growth increment and direction are determined using the fracture criteria. Various test specimens are simulated using a model with the fixed mesh. Therefore, computational costs have decreased significantly. Furthermore, numerical integration in the enriched elements is studied and the optimum numbers of gauss points in these elements are determined. Comparing the results of the extended finite element method with the experimental data show that the critical fracture load and the stress intensity factors at the fracture moment differ less than 10%. Furthermore, there is a convincing agreement between the crack growth path in the experimental test results and numerical analysis by the extended finite element method.

Keywords: Diagonally loaded square plate, Mixed mode fracture, Extended finite element.

نایپیوستگی‌ها و نوک ترک توسعه دادند. اضافه کردن یک میدان نایپیوسته، امکان مدل کردن مستقل ترک از مش را می‌دهد و نیاز به مش‌بندی مجدد هنگام رشد ترک را حذف می‌کند. بليچکو^۴ و همکارانش [۳]، روش فوق را برای مدل کردن نایپیوستگی‌های مستقل از مش، عمومیت بخشیدند. در این کار، بررسی جامعی از مدل کردن توابع با نایپیوستگی‌های دلخواه (نایپیوستگی‌های قوی) و مشتقات نایپیوسته (نایپیوستگی‌های ضعیف) ارائه می‌شود. این روش در مورد اغلب مسائل شامل، نایپیوستگی‌ها توسعه داده شده است. به عنوان مثال، دالبو^۵ و همکارانش [۴]، شکست ورق‌های میندلین-رایزنر را با استفاده از روش المان محدود توسعه‌یافته مدلسازی کردند. داکس^۶ و همکارانش [۵]، روش المان محدود توسعه‌یافته را برای مدل کردن سوراخ‌ها و ترک‌های شاخه دار بکار برند. لیو^۷ و همکارانش [۶]، این روش را برای استخراج ضرایب شدت تنش مود در ترک‌های بین دو ماده گسترش دادند. همچنین در زمینه سیالات، چسا^۸ و همکارانش [۷]، از روش اجزایی محدود توسعه‌یافته برای مدل کردن جریان چند فازی استفاده کرده است. دریبیستر کارهای انجام شده، عموماً توسعه روش فوق مدنظر قرار گرفته و کمتر مسائل تجربی شبیه‌سازی شده است. از محدود موارد انجام شده، می‌توان به موارد زیر اشاره کرد: بررسی رشد ترک دینامیکی با استفاده از روش المان محدود توسعه‌یافته در یک قطعه و مقایسه با نتایج تجربی [۸]، تخمین عمر خستگی سایشی با استفاده از داده‌های تجربی و روش المان محدود توسعه‌یافته [۹] و مدل کردن رشد ترک بین لایه‌ای در سازه‌های لایه‌ای با استفاده از روش المان محدود توسعه‌یافته و مقایسه با نتایج تجربی [۱۰]. در بسیاری از پژوهش‌های انجام شده براساس روش المان محدود توسعه‌یافته، فرضیاتی درنظر گرفته شده و معمولاً مقدار رشد ترک در هر مرحله به عنوان پیش فرض درنظر گرفته می‌شود.

ویژگی‌های اصلی پژوهش حاضر، به شرح زیر است: یک مسئله تجربی مکانیک شکست با نتایج مشخص، با استفاده از

۱- مقدمه
در مدل‌سازی مسائل شامل نایپیوستگی به کمک روش المان محدود، المان‌بندی باید بر مرز نایپیوستگی منطبق باشد. المان‌بندی، باید به گونه‌ای انجام گیرد که مرز نایپیوستگی از درون هیچ یک از المان‌ها عبور نکند؛ در نتیجه در مسائلی نظری ترک‌ها، جواب نهایی به نحوه المان‌بندی، امتداد آنها و شکل و ابعاد آنها وابسته است؛ همچنین شبیه‌سازی حرکت نایپیوستگی، مستلزم بازتولید مش و انطباق مش بر مرزهای نایپیوستگی در هر مرحله از محاسبات است. تنها با روش‌هایی مانند المان‌بندی مجدد که روش‌هایی بسیار پرهیزینه هستند، می‌توان به جواب‌های قابل اطمینانی در اینگونه مسائل دست یافت.

روش المان محدود توسعه‌یافته، تقریب جدیدی از روش المان محدود ارائه می‌دهد. در این روش با اضافه کردن توابع مناسب به فضای تقریب استاندارد، امکان در نظر گرفتن میدان نایپیوسته در سطح هریک از المان‌ها فراهم می‌شود؛ درنتیجه، مرز نایپیوستگی می‌تواند از داخل المان‌ها عبور کند. در صورت استفاده از این روش در مسائل دارای نایپیوستگی، مش مستقل از ترک بوده، نیازی به شبکه‌بندی با توجه به سطوح نایپیوستگی نمی‌باشد و نیاز به شبکه‌بندی مجدد و بازسازی المان‌ها هنگام رشد ترک از بین می‌رود. این امر، هزینه‌های محاسباتی را به شدت کاهش می‌دهد.

معرفی روش المان محدود توسعه‌یافته^۱ برای اولین بار در سال ۱۹۹۹ توسط بليچکو^۲ و همکارش [۱۱] انجام گرفت. در این کار، از توابع پایه مربوط به تغییر مکان‌های نوک ترک برای غنی‌سازی المان محدود گره‌های نزدیک نوک ترک استفاده گردیده است. آنها در کارشناس از خاصیت تقسیم‌بندی واحد استفاده کرده‌اند. این خاصیت، واحد بودن مجموع توابع شکل را بیان می‌کند. این خاصیت، برای همگرایی بسیار مهم و تعیین کننده است. موس^۳ و همکارانش [۲۲]، روش فوق را با در نظر گرفتن یک میدان نایپیوسته در امتداد وجوده ترک غیر از نوک آن بهبود بخشیدند. آنها تابع هویساید عمومی را به عنوان وسیله‌ای برای مدل کردن ترک غیر از نوک آن پیشنهاد داده، قوانین ساده‌ای برای تعریف غنی‌سازی

⁴Belytschko

⁵Dolbow

⁶Daux

⁷Liu

⁸Chessa

^۱eXtended Finite Element Method (X-FEM)

²Belytschko

³Moës

پژوهش، یک نمونه آزمون مود ترکیبی شکست با نام "ورق مربعی با بارگذاری قطری" است. این نمونه، دارای ویژگی‌های مناسبی است، از جمله به آسانی و با هزینه کم قابل ساخت است، نیاز به فیکسچر بارگذاری پیچیده ندارد و شرایط مختلف بارگذاری مودهای اول و دوم در حالت ترکیبی را فراهم می‌کند. در این پژوهش، نمونه آزمون مود ترکیبی فوق، با استفاده از روش المان محدود توسعه یافته، شبیه‌سازی می‌شود. بدین منظور، ابتدا اصول کلی این روش، روابط مربوطه و چگونگی محاسبه ضرایب شدت تنش مود ترکیبی و معیار رشد ترک، بیان می‌شود؛ سپس آزمون نمونه تجربی مود ترکیبی "ورق مربعی با بارگذاری قطری"، ارائه شده توسط مرجع [۱۷]، بررسی گردیده است. در ابتدا، تعداد نقاط گاؤس بهینه در المان‌های غنی شده تعیین می‌شود و سپس تحلیل شکست و رشد ترک در حالت شکست مود ترکیبی در این نمونه با استفاده از تحلیل عددی المان محدود توسعه یافته، شبیه‌سازی می‌شود. در هر مرحله از تحلیل، با استفاده از معیارهای شکست، زاویه و مقدار رشد ترک تعیین شده است. مقایسه نتایج تجربی با نتایج حاصل از شبیه‌سازی عددی، تطابق بسیار خوبی را نشان می‌دهد.

۲- اصول روش المان محدود توسعه یافته

در روش المان محدود توسعه یافته، تقریب جایجایی از دو قسمت تشکیل می‌شود: قسمت استاندارد (\mathbf{u}^{std}) و قسمت غنی شده (\mathbf{u}^{enr})؛ بنابراین از رابطه (۱) به دست خواهد آمد:

$$\mathbf{u} = \mathbf{u}^{std} + \mathbf{u}^{enr} \quad (1)$$

قسمت استاندارد، همان تقریب استفاده شده در روش استاندارد المان محدود است که توسط رابطه (۲) تعریف می‌شود:

$$\mathbf{u}^{std} = \sum_{i \in S} N_i(\mathbf{x}) \mathbf{u}_i \quad (2)$$

که در آن S مجموعه گره‌های شبکه، $(\mathbf{x})_i$ توابع شکل مربوط به گره i نام است که عبارت است از $N_i(\mathbf{x}_i) = \delta_{ij}$ ، N_i مختصات گره i نام؛ \mathbf{u}_i مجھولات گره‌ای در گره i نام هستند. در روش المان محدود توسعه یافته، بر حسب نوع ناپیوستگی یکتابع ناپیوسته روی المان مدل می‌شود. از برآیند این میدان ناپیوسته و میدان پیوسته به دست آمده از

روش المان محدود توسعه یافته مدل‌سازی شده است. مدل‌سازی انجام شده، مبتنی بر واقعیت بوده، در هر مرحله از تحلیل، با استفاده از معیارهای شکست، زاویه و مقدار رشد ترک تعیین شده است. هیچ‌گونه پیش‌فرضی در مقدار و زاویه رشد ترک در نظر گرفته نشده است. همچنین برای شبیه‌سازی آزمون‌های مختلف، از یک مدل با مشبندی ثابت استفاده شده است که نسبت به مدل‌های المان محدود، المان بسیار کمتری دارد. برای تحلیل المان محدود، باید برای هر نمونه، مدل جدید با مشبندی خاص ایجاد گردد و تحلیل رشد ترک، مستلزم استفاده از روش‌های پرهزینه مانند، مشبندی مجدد است؛ بنابراین هزینه‌های محاسباتی به شدت کاهش یافته است.

همچنین انتگرال‌گیری عددی در المان‌های غنی شده مورد بررسی دقیق قرار گرفته و تأثیر تعداد نقاط گاؤس در این المان‌ها بر پارامترهای شکست، تحلیل شده است. بر این اساس، تعداد نقاط گاؤس بهینه در این المان‌ها، تعیین گردیده است.

در بسیاری موارد، شکست سازه‌های مهندسی تحت بارگذاری مود ترکیبی رخ می‌دهد. به عنوان مثال، می‌توان از موارد ذیل نام برد: شکست پره توربین که تحت بارگذاری گریز از مرکز و بارگذاری خمشی ناشی از فشار سیال قرار دارد، شکست متنه حفاری که تحت بارگذاری پیچشی، فشاری و خمشی قرار دارد و یا سازه‌های ترکدار هوایپیما که تحت بارگذاری سیال و بارهای خمشی و کششی قرار دارند. بررسی شکست تجربی روی سازه‌های واقعی، اغلب بسیار پیچیده و هزینه‌بر است؛ بنابراین غالباً پژوهشگران، آزمایش‌های خود را روی نمونه‌های آزمایشگاهی اجرا می‌کنند. این نمونه‌ها، باید به صورت مناسب طراحی شود تا همان شرایط تنش و کرنش ترک در سازه‌های واقعی را فراهم کند. برای انجام آزمون‌های مود ترکیبی شکست، نمونه‌های مختلفی پیشنهاد شده است. از این نمونه‌ها، می‌توان به موارد زیر اشاره کرد: ورق مستطیلی با ترک مورب تحت بارگذاری کششی [۱۱ و ۱۲]، نمونه دیسک برزیلی ترکدار [۱۳ و ۱۴]، نمونه کششی-برشی فشرده [۱۵] و نمونه خمشی نیمه دایروی ترکدار [۱۶]. برخی از این نمونه‌ها، تنها ترکیب‌های محدودی از مود اول و مود دوم را فراهم می‌کنند و برخی دیگر، احتیاج به فیکسچرهای پیچیده دارند. نمونه آزمون بررسی شده در این

$\mathbf{a}_j^T \mathbf{b}_k^l$ در درجات آزادی غنی شده (به ترتیب در گره‌های (r, θ) مختصات قطبی محلی در نوک ترک) است. براساس آنچه در مورد روش المان محدود توسعه یافته گفته شد، در حل مسائل با این روش، دو گام اساسی در نظر گرفته می‌شود:

گام اول: در ابتدا به منظور شبکه‌بندي، مرز ناپيوستگي از مسئله حذف شده و شبکه‌بندي بدون توجه به ناپيوستگي موجود و تنها براساس هندسه خارجي مسئله صورت می‌گيرد.

گام دوم: پس از تعیين شبکه‌بندي مسئله، مرز ناپيوستگي با شبکه انتخاب شده در نظر گرفته می‌شود. سپس در المان‌هایی که توسط مرز ناپيوستگي قطع شده و میدان در آنها ناپيوسته است، با کمک روش تقسيم‌بندي واحد و توسط توابع گفته شده، غني‌سازی صورت می‌گيرد. به نحوی که تقریب جدید، میدان ناپيوسته هریک از این المان‌ها را به درستی مدل کنند.

بدیهی است که موقعیت گره‌ها نسبت به مرز ناپيوستگي، باید در هر مرحله از محاسبات تعیین شود. با استفاده از این اطلاعات، می‌توان المان‌هایی که توسط مرز ناپيوستگي قطع می‌شوند را تشخیص داده و غني‌سازی مورد نظر را انجام داد. برای مشیندی مدل‌ها از المان‌های چهارضلعی درجه یک (با توابع شکل لاغرانژی) استفاده شده است.

۳- گسسته‌سازی معادلات تعادل

برای یک جسم در حال تعادل استاتیکی، شکل ضعیف معادله تعادل (اصل کار مجازی)، به صورت رابطه (۶) نوشته می‌شود:

$$\int_{\Omega} \sigma : \delta \epsilon d\Omega = \int_{\Omega} \mathbf{b} \cdot \delta \epsilon d\Omega + \int_{\Gamma_t} \bar{\mathbf{t}} \cdot \delta \epsilon d\Gamma \quad (6)$$

تансور تنشن، \mathbf{b} نیروی جسمی و $\bar{\mathbf{t}}$ بردار تنشن خارجی هستند. با جاگذاری تقریب تغییر مکان در روش المان محدود توسعه یافته در شکل ضعیف معادله تعادل، رابطه (۷) بدست می‌آید:

$$\mathbf{K} \mathbf{u}^h = \mathbf{f} \quad (7)$$

که \mathbf{K} ماتریس سختی، \mathbf{u}^h بردار درجات آزادی گرهی (شامل درجات آزادی کلاسیک و غنی‌شده) و \mathbf{f} بردار نیروی خارجی است. برای هر المان، ماتریس سختی و نیرو به صورت رابطه (۸) است:

تقریب استاندارد، میدان ناپيوسته موردنظر به دست می‌آید.

اضافه کردن این تابع ناپيوسته با استفاده از روش تقسیم‌بندي واحد انجام می‌گيرد. عموماً برای توابع شکل در قسمت غنی‌شده از همان توابع قسمت استاندارد استفاده می‌شود:

$$\mathbf{u}(\mathbf{x}) = \sum_{I \in S} N_i(\mathbf{x}) \mathbf{u}_i + \sum_{J \in S^{enr}} N_j(\mathbf{x}) \Psi(\mathbf{x}) \mathbf{a}_j \quad (3)$$

که S^{enr} مجموعه گره‌های غنی‌شده است. $(\mathbf{x}) \Psi$ توابع غني‌سازی یا توابع اضافی \mathbf{a} و مجہولات اضافی هستند.

غني‌سازی در روش المان محدود توسعه یافته، به صورت موضعی انجام می‌گيرد؛ يعني غني‌سازی در هر المان به صورت مستقل و تنها با توجه به وضعیت مرز ناپيوستگي درون همان المان انجام می‌شود. برای غني‌سازی گره‌هایی که ترک تکيه‌گاه آنها را قطع می‌کند و همچنین تکيه‌گاه آنها نوک ترک را در برندارد، از تابع هويسايد به منظور غني‌سازی تقریب جابجایی استاندارد استفاده می‌شود. برای گره‌هایی که تکيه‌گاه آنها نوک ترک را در بردارد، چنانچه نوک ترک داخل المان قرار گيرد، باید از توابع انشعاب برای غني‌سازی اين گره‌ها استفاده شود تا ناپيوستگي جابجایی در نزديک نوک ترک به خوبی مدل گردد. اين توابع، با استفاده از حل‌های تحليلي برای حالت‌های خاص ترک بدست آمداند.

ماهه درنظر گرفته شده در تحليل‌های انجام‌شده، ماشه

الاستيك خطى است. مسائل به صورت دو بعدی (تنش

صفحه‌اي) مدل گردیده‌اند. با توجه به موارد فوق برای

مدلسازی به روش المان محدود توسعه یافته، میدان جابجایي

به صورت رابطه (۴) درنظر گرفته شده است:

$$\mathbf{u}(\mathbf{x}) = \sum_{i \in I} N_i(\mathbf{x}) \mathbf{u}_i + \sum_{j \in J} N_j(\mathbf{x}) H(\mathbf{x}) \mathbf{a}_j + \sum_{k \in K_1} N_k(\mathbf{x}) \left(\sum_{l=1}^4 F_l^1(\mathbf{x}) \mathbf{b}_k^{l1} \right) \quad (4)$$

که $H(\mathbf{x})$ تابع هويسايد (تابع غني‌ساز در گره‌های المان‌های کاملاً برش خورده) است. تابع غني‌ساز گره‌های نزديک نوک ترک به صورت رابطه (۵) است:

$$\{F_l(r, \theta)\}_{l=1}^4 = \begin{cases} \sqrt{r} \cos \frac{\theta}{2}, \sqrt{r} \sin \frac{\theta}{2}, \\ \sqrt{r} \sin \theta \cos \frac{\theta}{2}, \sqrt{r} \sin \theta \sin \frac{\theta}{2} \end{cases} \quad (5)$$

متفاوت است. المانی که چهار گره آن با توابع هویساید غنی شود، اندازه ماتریس سفتی المان 16×16 است و المانی که چهار گره آن با توابع هویساید غنی شود، اندازه ماتریس سفتی المان 40×40 است. این یکی از ویژگی‌های روش المان محدود توسعه یافته است که اندازه ماتریس المان‌ها یکسان نبوده، با توجه به گره‌هایی که غنی می‌شوند، اجزای ماتریس سفتی در طی رشد ترک تغییر می‌کند.

۴- انتگرال گیری در المان‌های غنی شده

یکی از مسائل مهم و پیچیده در روش المان محدود توسعه یافته، انتگرال گیری در المان‌های غنی شده‌است. برای انتگرال گیری عددی در المان‌های استاندارد، معمولاً از روش انتگرال گیری گاؤسی^۱ استفاده می‌شود. با استفاده از تعداد نقاط گاؤس مناسب (نقاط انتگرال گیری)، این روش برای توابع چندجمله‌ای دقیق است. در توابع چندجمله‌ای از درجه n برای اینکه انتگرال گیری دقیق باشد، باید تعداد نقاط گاؤس بیشتر یا مساوی $\frac{n+1}{2}$ باشد. در این مسأله با توجه به اینکه توابع شکل المان‌های استاندارد از نوع خطی است، تعداد نقاط گاؤس در هر ضلع برابر ۲ رناظر گرفته شده است (۴ نقطه گاؤس در هر المان چهارضلعی استاندارد).

از آنجا که در روش المان محدود توسعه یافته، ترک کاملاً به طور دلخواه می‌تواند از داخل المان عبور کند، روش استاندارد فوق، برای انتگرال گیری میدان‌های ناپیوسته در المان‌های غنی شده مناسب نیست. در المان‌هایی که کاملاً توسط ترک قطع شده و با تابع هویساید غنی شده‌اند، انتگرال گیری عددی باید به طرز صحیح، سهم هر طرف ناپیوستگی را در شکل ضعیف معادلات محاسبه نماید. چنانچه از روش استاندارد انتگرال گیری عددی در المان‌های غنی شده با توابع ناپیوسته هویساید استفاده شود، مودهای منفرد نادرست در سیستم معادلات ظاهر می‌شود. برای انتگرال گیری صحیح، باید انتگرال گیری در چندضلعی‌های دو سوی ترک به طور جداگانه انجام شود. با توجه به اینکه انتگرال گیری در چندضلعی‌ها (بیش از ۴ ضلع) پیچیده بوده، تا کنون فرمول‌بندی واحدی برای آن ارائه نشده است. روش مرسوم، این است که برای انتگرال گیری عددی در این

$$\mathbf{K}_{ij}^e = \begin{bmatrix} \mathbf{K}_{ij}^{uu} & \mathbf{K}_{ij}^{ua} & \mathbf{K}_{ij}^{ub} \\ \mathbf{K}_{ij}^{au} & \mathbf{K}_{ij}^{aa} & \mathbf{K}_{ij}^{ab} \\ \mathbf{K}_{ij}^{bu} & \mathbf{K}_{ij}^{ba} & \mathbf{K}_{ij}^{bb} \end{bmatrix} \quad (8)$$

$$\mathbf{f}_i^e = \left\{ \mathbf{f}_i^u \quad \mathbf{f}_i^a \quad \mathbf{f}_i^{b_1} \quad \mathbf{f}_i^{b_2} \quad \mathbf{f}_i^{b_3} \quad \mathbf{f}_i^{b_4} \right\}^T \quad (9)$$

بردار درجات آزادی گرهی و اجزاء ماتریس سختی و بردار نیرو به صورت رابطه (۴-۱۰) است:

$$\mathbf{u}^h = \left\{ u \quad a \quad b_1 \quad b_2 \quad b_3 \quad b_4 \right\}^T \quad (10)$$

$$\mathbf{K}_{ij}^{rs} = \int_{\Omega^e} \left(\mathbf{B}_i^r \right)^T \mathbf{D} \mathbf{B}_j^s d\Omega \quad (r,s=u,a,b) \quad (11)$$

$$\mathbf{f}_i^u = \int_{\Gamma_i} N_i \bar{\mathbf{t}} d\Gamma + \int_{\Omega^e} N_i \mathbf{b} d\Omega \quad (12)$$

$$\mathbf{f}_i^a = \int_{\Gamma_i} N_i H \bar{\mathbf{t}} d\Gamma + \int_{\Omega^e} N_i H \mathbf{b} d\Omega \quad (13)$$

$$\mathbf{f}_i^{b\alpha} = \int_{\Gamma_i} N_i F_\alpha \bar{\mathbf{t}} d\Gamma + \int_{\Omega^e} N_i F_\alpha \mathbf{b} d\Omega \quad (14)$$

درجات آزادی کلاسیک و a, b درجات آزادی غنی شده هستند. \mathbf{D} تansور ضرایب الاستیک است. اجزای این ماتریس برای حالت تنفس صفحه‌ای در مرجع [۳] مشخص شده است. ماتریس‌های $\mathbf{B}_i^r, r=u,a,b$ ، به صورت روابط (۱۸-۱۵) تعریف می‌شوند:

$$\mathbf{B}_i^u = \begin{bmatrix} N_{i,x} & 0 \\ 0 & N_{i,y} \\ N_{i,y} & N_{i,x} \end{bmatrix} \quad (15)$$

$$\mathbf{B}_i^a = \begin{bmatrix} (N_i H)_{,x} & 0 \\ 0 & (N_i H)_{,y} \\ (N_i H)_{,y} & (N_i H)_{,x} \end{bmatrix} \quad (16)$$

$$\mathbf{B}_i^b = \begin{bmatrix} \mathbf{B}_i^{b_1} & \mathbf{B}_i^{b_2} & \mathbf{B}_i^{b_3} & \mathbf{B}_i^{b_4} \end{bmatrix} \quad (17)$$

$$\mathbf{B}_i^{b\alpha} = \begin{bmatrix} (N_i F_\alpha)_{,x} & 0 \\ 0 & (N_i F_\alpha)_{,y} \\ (N_i F_\alpha)_{,y} & (N_i F_\alpha)_{,x} \end{bmatrix} \quad (18)$$

هریک از ماتریس‌های فوق، ابتدا باید برای هر المان محاسبه شده و سپس برای کل المان‌ها تجمعی گردد. برای یک المان چهارضلعی درجه یک استاندارد، با توجه به رابطه ۱۱، اندازه ماتریس سفتی المان 8×8 است. برای المان‌هایی که دارای گره‌های غنی شده هستند، بسته به اینکه تعداد گره‌های غنی شده چه تعداد باشد، اندازه ماتریس سفتی

^۱Gaussian Quadrature

دسترس است. در این کار از روش مرجع [۱۸] استفاده شده که بر مبنای تقسیم یک چندضلعی محدب به چند زیرمثلث است. این روش، در نرم‌افزار Matlab فرموله شده است.

۵- محاسبه ضرایب شدت تنش و تحلیل رشد ترک

برای محاسبه ضرایب شدت تنش در حالت مود ترکیبی، از روش انتگرال تعاملی^۱ [۱۹] استفاده شده است. در این روش، میدان‌های کمکی به میدان‌های حقیقی تنش، کرنش و جابجایی افزوده می‌شود. در حالت‌هایی که این میدان‌های کمکی به طریق مناسب انتخاب شوند، امکان استخراج ضرایب شدت تنش مود اول و مود دوم به صورت جداگانه فراهم می‌شود. برای کاهش خطأ و افزایش دقیقت در محاسبه انتگرال‌های کانتوری در روش المان محدود توصیه می‌شود. این انتگرال‌ها، به صورت ناحیه‌ای معادل^۲ درآمده و محاسبه گردند. انتگرال تعاملی به شکل ناحیه‌ای به صورت رابطه (۱۹) است:

$$I^{(1,2)} = \int_A \left[\sigma_{ij}^{(1)} \frac{\partial u_i^2}{\partial x_j} + \sigma_{ij}^{(2)} \frac{\partial u_i^1}{\partial x_j} - W^{(1,2)} \delta_{ij} \right] \frac{\partial q}{\partial x_j} dA \quad (19)$$

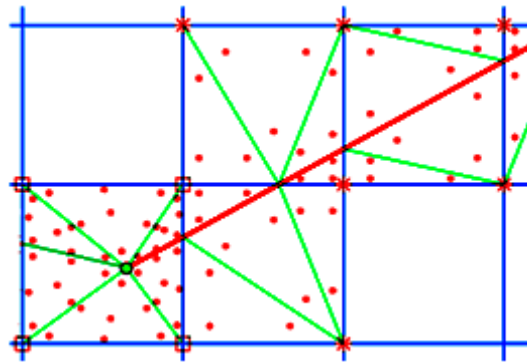
W انرژی کرنشی و A ناحیه انتگرال‌گیری است. (x) یک تابع وزن هموار است که روی یک مسیر دربردارنده نوک ترک ۱ و روی یک کانتور بیرونی مقدار صفر را می‌گیرد. با استفاده از انتگرال تعاملی، ضرایب شدت تنش مود اول و مود دوم به صورت رابطه (۲۰) محاسبه می‌شود:

$$\begin{cases} K_I^{(1)} = \frac{2}{E} I^{(1, \text{Mode } I)} \\ K_{II}^{(1)} = \frac{2}{E} I^{(1, \text{Mode } II)} \end{cases} \quad (20)$$

بر حسب مدول یانگ ماده E و ضریب پواسون^۳، به صورت $E=E$ برای حالت تنش صفحه‌ای و $E=E/(1-\nu^2)$ برای حالت کرنش صفحه‌ای، تعریف می‌شود. جزئیات این روش، در مرجع [۲۰] آمده است.

برای انجام محاسبات عددی انتگرال فوق، ناحیه A ، مجموعه‌ای از المان‌های اطراف نوک ترک درنظر گرفته می‌شود. برای این منظور، مرجع [۲] پیشنهاد کرده که ابتدا

المان‌های غنی‌شده، المان‌های فوق به زیرمثلث‌هایی منطبق بر ترک، تقسیم شده و انتگرال‌گیری روی این زیرمثلث‌ها انجام می‌شود. (مطابق شکل ۱) [۱۸].



شکل ۱- تقسیم المان‌های غنی‌شده به زیربخش‌های مثلثی جهت انتگرال‌گیری عددی

همچنین در المان‌های نوک ترک (غنی‌شده با توابع انشعاب)، با توجه به اینکه انتگرال‌گیری عددی از توابع منفرد صورت می‌گیرد، باید تعداد نقاط گاؤس مخصوصاً حول نوک ترک، افزایش یابد. برای این منظور، المان‌های حاوی نوک ترک، حول نوک ترک به زیرمثلث‌هایی تقسیم شده، انتگرال‌گیری عددی روی این زیرمثلث‌ها انجام می‌شود (مطابق شکل ۱)؛ همچنین با توجه به اینکه برخی از گره‌های المان‌های مجاور نوک ترک نیز با توابع منفرد، غنی‌سازی شده است، به نظر می‌رسد برای انتگرال‌گیری دقیق‌تر در این المان‌ها، نسبت به المان‌های استاندارد، باید تعداد نقاط گاؤس افزایش یابد. در این المان‌ها، تعداد نقاط گاؤس مناسب به عنوان یک پارامتر مورد بررسی قرار می‌گیرد.

اینکه تعداد نقاط گاؤس مناسب در المان‌های غنی‌شده چه تعداد باشد، در قسمت‌های بعد به طور دقیق مورد بررسی قرار خواهد گرفت.

باید توجه داشت که تقسیم المان‌های غنی‌شده به زیرمثلث‌ها، فقط جهت انتگرال‌گیری عددی انجام می‌شود و هیچ‌گونه درجه آزادی اضافی به مسائله اضافه نمی‌کند. همچنین مکان گره‌های مسئله و در نتیجه المان‌بندی، در تمام تحلیل ثابت است.

تقسیم یک چندضلعی به چند زیرمثلث، یک امر روتین در مسائل عددی است، برای این امر، روش‌های مختلفی در

¹Interaction integral method
²equivalent domain form

$$\sigma_{\theta\theta}(r, \theta_c) = \frac{K^{eq}}{\sqrt{2\pi r}} \quad (۲۳)$$

$$K^{eq} = K_I \cos^3\left(\frac{\theta_c}{2}\right) - K_H \frac{3}{2} \cos\left(\frac{\theta_c}{2}\right) \sin(\theta_c) \quad (۲۴)$$

در هر گام، برای شروع رشد ترک در حالت مود ترکیبی، باید ضریب شدت تنش مؤثر به ضریب شدت تنش بحرانی یا همان چقرگی شکست ماده، برسد؛ بنابراین برای شروع رشد، رابطه (۲۵) باید برقرار باشد:

$$K^{eq} \geq K_{IC} \quad (۲۵)$$

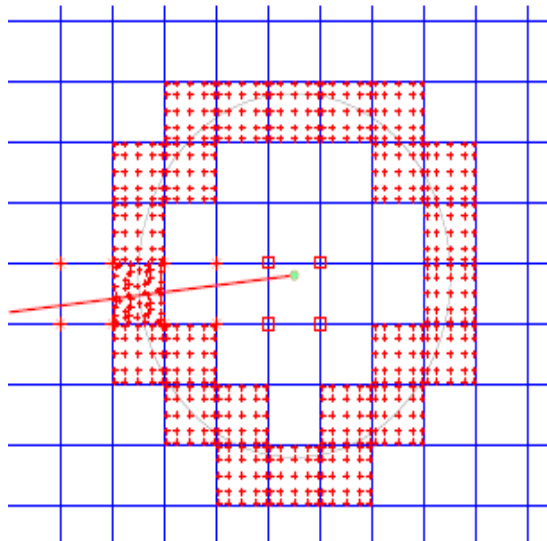
۶- معرفی نمونه "ورق مربعی با بارگذاری قطری"

تحت بارگذاری مود ترکیبی

در اغلب مسائل واقعی مهندسی، رشد ترک در حالت مود ترکیبی رخ می‌دهد. بررسی تجربی شکست در قطعات واقعی، بسیار سخت و هزینه‌بر است. اغلب محققان، آزمون‌های تجربی را روی نمونه‌های آزمایشگاهی انجام می‌دهند. در سال ۲۰۰۹، آیت الهی و همکارش [۱۷] برای بررسی رشد ترک در مود ترکیبی، نمونه‌ای با نام "ورق مربعی با بارگذاری قطری"^۱ را رائه دادند. (شکل ۲).

از مزایای این نمونه، می‌توان به موارد زیر اشاره کرد: این نمونه، گستره کاملی از ترکیب مودهای اول و دوم شکست را جهت آزمون فراهم می‌کند؛ همچنین این نمونه، علاوه بر استفاده در مود اول شکست خالص و آزمون‌های مود ترکیبی شکست، توانایی ایجاد مود شکست دوم خالص را دارد، در حالی که برخی دیگر از نمونه‌های آزمون‌های مود ترکیبی شکست، توانایی ایجاد مود دوم خالص را ندارند؛ همچنین این نمونه، احتیاج به قید و بند بارگذاری کمکی ندارد و مستقیماً می‌تواند به پین‌های بارگذاری دستگاه متصل شود؛ در حالی که برخی نمونه‌های مورد استفاده در بارگذاری مود ترکیبی مانند، نمونه کششی-برشی فشرده^۲ [۲۱]، نیاز به قید و بند بارگذاری پیچیده‌ای دارد.

طول مشخصه یک المان نوک ترک (جذر مساحت المان) محاسبه شده و سپس ناحیه A به صورت المان‌های انتخاب می‌شوند که حداقل یک گره در فاصله‌ای معین از نوک ترک دارند. در انجام محاسبات، فاصله فوق برابر ۳ برابر طول مشخصه المان درنظر گرفته شده است. (مطابق شکل ۲)



شکل ۲- انتخاب المان‌های اطراف ترک برای محاسبه شکل ناحیه‌ای انتگرال تعاملی

معیار حداکثر تنش مماسی به عنوان معیار شروع و رشد ترک در نظر گرفته شده است. در حالت بارگذاری مود ترکیبی، با صرفنظر از ترمومانفروند، تنش مماسی در اطراف نوک ترک به صورت رابطه (۲۱) است [۲۰]:

$$\sigma_{\theta\theta} = \frac{1}{\sqrt{2\pi r}} \left[K_I \cos^3 \frac{\theta}{2} - \frac{3}{2} K_H \cos \frac{\theta}{2} \sin \theta \right] \quad (۲۱)$$

بر اساس معیار حداکثر تنش مماسی، رشد ترک در راستای رخ می‌دهد که تنش مماسی بیشینه باشد. با مشتق گرفتن از رابطه بالا و مساوی صفر قراردادن آن، رابطه (۲۲) برای زاویه رشد ترک در هر گام حاصل می‌شود:

$$\theta_c = 2 \arctan \left[\frac{-2K_H / K_I}{1 + \sqrt{1 + 8(K_H / K_I)^2}} \right] \quad (۲۲)$$

همچنین براساس این معیار، می‌توان رابطه (۲۴-۲۳) را بین ضریب شدت تنش مؤثر مود ترکیبی و تنش مماسی در نظر گرفت:

¹Diagonally loaded square plate (DLSP)
²Compact tension-shear (CTS) specimen

جدول ۲- مشخصات خواص مکانیکی نمونه آزمون ورق مربعی با بارگذاری قطری [۱۷]

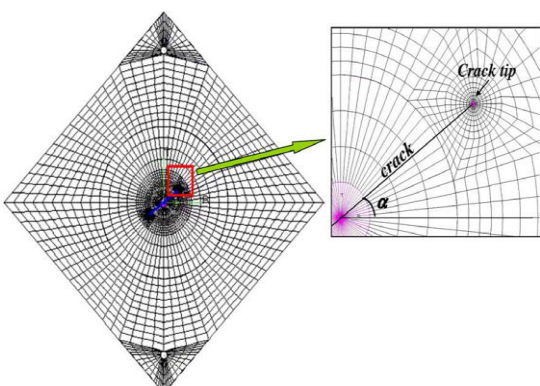
K_{IC} (MPa \sqrt{m})	v	مدول یانگ (GPa)	چرمگی شکست
۱/۳۳	۰/۳۸	۲/۹۴	

در پژوهش فوق، برای تعیین ضرایب شدت تنش در نمونه فوق، روابط ابتکاری (۲۶) معرفی شده است:

$$K_I = \frac{P}{wt} \sqrt{\frac{\pi a}{2}} Y_I \left(\frac{a}{w}, \alpha \right) \quad (26)$$

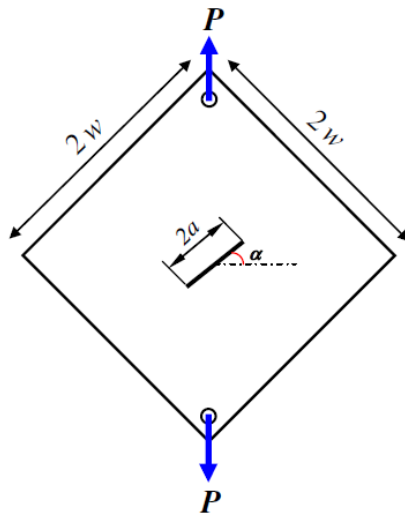
$$K_{II} = \frac{P}{wt} \sqrt{\frac{\pi a}{2}} Y_{II} \left(\frac{a}{w}, \alpha \right)$$

در پژوهش فوق، برای تعیین ضرایب هندسی Y_I و Y_{II} ، تحلیل‌های المان محدود با استفاده از نرم‌افزار آباکوس انجام شده است. در این تحلیل‌ها، بار وارد بر قطعه ثابت و برابر ۱۰۰ آنیوتون در نظر گرفته شده است؛ سپس برای مقادیر مختلف طول ترک و همچنین زاویه قرارگیری ترک، با استفاده از مدل المان محدود در نرم‌افزار آباکوس، ضرایب شدت تنش محاسبه گردیده است. پس از آن با استفاده از روابط ۲۶، ضرایب هندسی Y_I و Y_{II} برای هر مدل تعیین شده، در نهایت تابعیت این ضرایب به صورت نموداری مشخص شده است. در این مرجع، مدل المان محدود، دارای ۲۷۵۰ گره بوده، از المان تنش‌صفحه‌ای ۸ گرهی برای مدل‌سازی استفاده شده است (شکل ۴).



شکل ۴- مدل المان محدود نمونه در نرم‌افزار آباکوس [۱۷]

با توجه به زاویه قرارگیری ترک در نمونه و نسبت طول



شکل ۳ نمونه "ورق مربعی با بارگذاری قطری" برای بررسی رشد ترک در مود ترکیبی

۷- چگونگی آزمون‌های تجربی و تحلیل المان محدود

آیت الهی و همکارش، آزمون‌های مختلفی را روی نمونه فوق از جنس polymethyl methacrylate (PMMA) (یک ماده پلیمری ترد) انجام دادند. روش آزمون‌های فوق، بدین صورت بوده است که به ازای زوایای مختلف قرارگیری ترک در نمونه (α)، با استفاده از بارگذاری قرار گرفته است (بار شبیه استاتیکی). آرامی تحت بارگذاری قرار گرفته است (بار شبیه استاتیکی). جایجایی اعمالی افزایش یافته تا ترک شروع به رشد کند. در این لحظه، نیروی عکس‌عمل به عنوان "بار بحرانی شکست قطعه"^۲ ثبت شده است. در این آزمون‌ها، همچنین، چگونگی مسیر رشد ترک تصویربرداری و ثبت گردیده است. مشخصات هندسی قطعه و خواص مکانیکی ماده مورد استفاده در جداول ۱ و ۲ فراهم گردیده است.

جدول ۱- مشخصات هندسی نمونه آزمون ورق مربعی با بارگذاری قطری [۱۷]

عرض ورق mm/min	طول ترک (mm)	ضخامت ورق (mm)	نرخ بارگذاری (mm)
۱	۵	۴۵	۱۵۰

^۱Displacement control

^۲Critical fracture load (P_{cr})

در هر جهت نمونه به صورت منظم استفاده شده است. باید توجه داشت که نسبت به شبیه‌سازی المان محدود مرجع [۱۷]، پژوهش حاضر از امتیازات زیر برخوردار است: شبیه‌سازی مرجع فوق تنها در بار ثابت انجام شده و برای هر یک از نمونه‌های مختلف، جداگانه مشبندی انجام شده، ضرایب شدت تنش در یک بار ثابت محاسبه شده است؛ همچنین فرایند رشد ترک مدل سازی نشده است. در حالی که در پژوهش حاضر، کل فرایند بارگذاری آزمون‌های انجام شده، شبیه‌سازی شده و بارگذاری به صورت جابجایی کنترل در نظر گرفته شده است. فرایند بارگذاری از قبیل از شکست قطعه، لحظه شکست و رشد ترک در قطعه، شبیه‌سازی شده است. ویژگی دیگر پژوهش حاضر، این است که برای تمام نمونه‌های مختلف و همه تحلیل‌ها (از جمله رشد ترک در نمونه‌های مختلف)، از یک مشبندی ثابت استفاده شده است (شکل ۱۰)؛ همچنین مدل مشبندی شده دارای ۱۲۲۵ گره است که در مقایسه با مدل المان محدود مرجع [۱۷] ۲۷۵۰ گره، تعداد المان بسیار کمتری دارد؛ بنابراین با توجه به موارد گفته شده، هزینه محاسباتی تحلیل‌های عددی انجام شده نسبت به تحلیل المان محدود مرجع [۱۷]، بسیار کمتر است.

۱-۸- انتخاب نقاط گاؤس مناسب در المان‌های غنی‌شده

برای تحلیل مسأله به روش المان محدود توسعه‌یافته از المان‌های چهارضلعی درجه یک استفاده شده است. بر این اساس، برای انتگرال‌گیری در المان‌های استاندارد از تعداد ۴×۲ نقطه گاؤس استفاده شده است. همان‌گونه که در بخش ۴ ذکر شد، برای انتگرال‌گیری عددی در المان‌های غنی‌شده، باید این المان‌ها به زیرمثلاحتایی تقسیم شود. اینکه تعداد نقاط گاؤس مناسب در زیرمثلاحتها چه تعداد باشد، در این قسمت مورد بررسی قرار می‌گیرد؛ همچنین تعداد نقاط گاؤس مناسب در المان‌های مجاور المان نوک ترک، مورد بررسی قرار می‌گیرد.

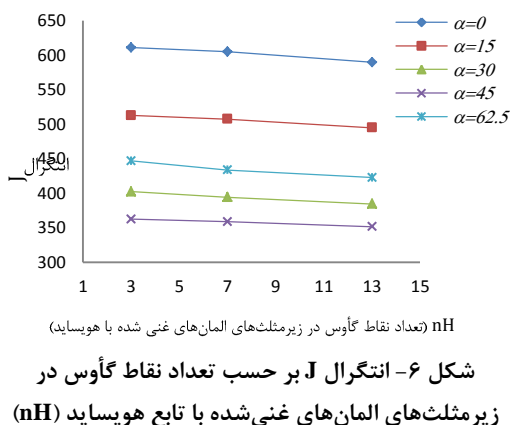
ترک به عرض ورق، مود بارگذاری می‌تواند، مود اول، مود دوم و یا مود ترکیبی باشد. طبق گزارش مرجع [۱۷]، برای نسبت طول ترک به عرض ورق برابر 0.03 (ورق مورد آزمایش)، زاویه قرارگیری ترک که در آن مود دوم خالص ایجاد می‌شود، برابر 62.5° درجه است. مود اول خالص نیز، در زاویه صفر درجه بوجود می‌آید. آزمون‌های تجربی برای زوایای $0^\circ, 15^\circ, 30^\circ, 45^\circ$ و 62.5° درجه انجام شده است. در هریک از زوایای فوق، چهار عدد نمونه، مورد آزمون قرار گرفته، مجموعاً نتایج 24 نمونه آزمون، فراهم گردیده است. در هریک از آزمون‌ها، بار شکست قطعه ثبت شده و سپس با استفاده از نمودارهای ضرایب هندسی (تعیین شده با استفاده از تحلیل‌های المان محدود برای بار ثابت) و روابط 26 ، ضرایب شدت تنش مود اول و دوم در لحظه شکست، تعیین گردیده است.

۸- نتایج تحلیل المان محدود توسعه‌یافته

به منظور مقایسه با نتایج تجربی، مدل‌سازی با روش المان محدود توسعه‌یافته انجام شده و نتایج تحلیل‌های عددی با نتایج آزمون مقایسه گردیده است. برای شبیه‌سازی با روش المان محدود توسعه‌یافته، در هر گام بارگذاری، ابتدا با استفاده از روش انتگرال تعاملی، ضرایب شدت تنش برای مودهای اول و دوم تعیین می‌شود. سپس با استفاده از رابطه (۹) ، ضریب شدت تنش مؤثر محاسبه می‌گردد؛ سپس در صورتی که ضریب شدت تنش مؤثر به چقمرمگی شکست ماده برسد، ترک شروع به رشد خواهد کرد. در غیر این صورت، بار (جابجایی اعمالی) به آرامی افزوده می‌شود؛ هنگامی که برای اولین مرتبه، ضریب شدت تنش مؤثر به چقمرمگی شکست ماده برسد، نیروی عکس العمل به عنوان بار شکست بحرانی قطعه P_{cr} در محل اعمال جابجایی ثبت می‌شود. از این گام به بعد، مقدار رشد ترک و زاویه رشد ترک در هر مرحله براساس روابط 22 تا 25 تعیین می‌شود و با توجه به معیار شکست، ترک رشد داده می‌شود. در هر گام بارگذاری، روش فوق تکرار می‌شود. بدین ترتیب، مسیر کامل رشد ترک بدست می‌آید. برای تحلیل این مسأله به روش المان محدود توسعه‌یافته، کد کامپیوتری در نرم‌افزار Matlab توسعه داده شده است. ساختار برنامه کامپیوتری فوق، در شکل ۵ ترسیم گردیده است.

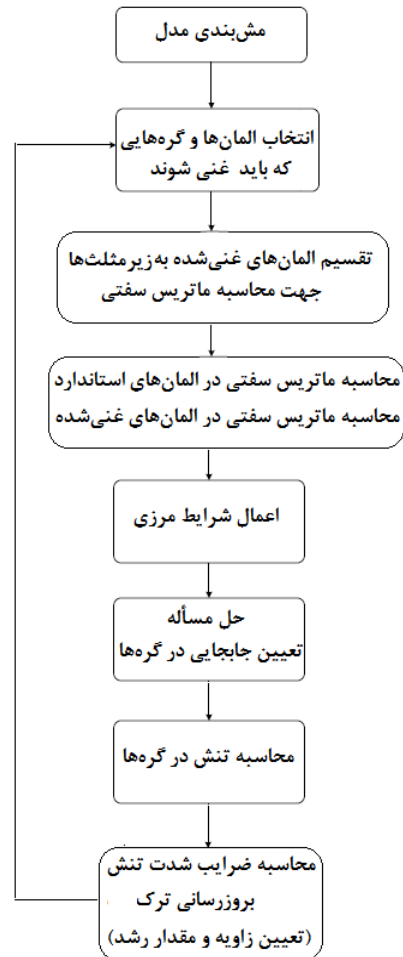
برای مشبندی مدل المان محدود توسعه‌یافته از 35 گره

(غنى شده با توابع انشعاب) و المان‌های مجاور المان نوک ترک. برای بررسی پارامتری اثر تعداد نقاط گاؤس، سه متغیر معرفی می‌شود: تعداد نقاط گاؤس در زیرمثلهای المان‌های غنى شده با تابع هویساید (nH)، تعداد نقاط گاؤس در زیرمثلهای المان‌های غنى شده با تابع انشعاب (nF) و تعداد نقاط گاؤس در المان‌های مجاور المان نوک ترک (nN). برای تعیین تعداد نقاط گاؤس بهینه در مورد انواع مختلف المان‌های غنى شده، مقدار انتگرال J در لحظه شکست نمونه بر حسب هر یک از متغیرهای فوق در زوایای مختلف قرار گیری ترک ترسیم می‌شود. همانطور که در شکل ۶ دیده می‌شود، مقدادر انتگرال J در نمونه‌های مختلف با افزایش تعداد نقاط گاؤس از سه عدد در زیرمثلهای المان‌های غنى شده با تابع هویساید (nH)، حداقل دو تا سه در صد تغییر می‌کند؛ بنابراین برای انتگرال گیری در این زیرمثلهای از سه نقطه گاؤس استفاده خواهد شد.



شکل ۶- انتگرال J بر حسب تعداد نقاط گاؤس در زیرمثلهای المان‌های غنى شده با تابع هویساید (nH)

همانگونه که از شکل ۷ مشخص است، مقدادر انتگرال J در نمونه‌های مختلف، با افزایش تعداد نقاط گاؤس از سه عدد به هفت عدد تا هشت درصد تغییر می‌کند؛ اما با افزودن بیشتر نقاط گاؤس، مقدادر فوق تغییر چندانی نمی‌کند؛ بنابراین برای انتگرال گیری در این زیرمثلهای، از هفت نقطه گاؤس استفاده خواهد شد.



شکل ۵- ساختار برنامه کامپیوتوئی جهت حل مسئله

چنانچه تعداد نقاط گاؤس به اندازه کافی نباشد، انتگرال گیری‌های عددی از دقت کافی برخوردار نخواهد بود. از طرف دیگر، با انتخاب تعداد نقاط گاؤس زیاد، هزینه محاسباتی مسئله به شدت افزایش می‌یابد؛ بنابراین انتخاب تعداد نقاط گاؤس بهینه، از اهمیت بالایی برخوردار است. در نواحی مثلثی، نقاط گاؤس با استفاده از روش انتگرال گیری گاؤسی مشخص می‌شود. برای انتگرال گیری عددی بر طبق این روش، می‌توان از ۳، ۷ یا ۱۳ نقطه استفاده کرد.^[۲۳] در این مسئله با سه دسته از المان‌های غنى شده مواجه هستیم: المان‌هایی که کاملاً توسط ترک قطع شده‌اند (غنى شده توسط توابع هویساید)، المان‌های حاوی نوک ترک

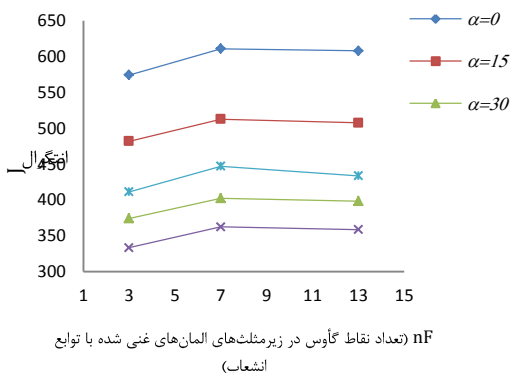
جدول ۳- بار بحرانی شکست قطعه (P_{cr}) حاصل از آزمون‌ها و تحلیل‌های المان محدود توسعه‌یافته*

درصد اختلاف	تحلیل المان محدود توسعه‌یافته	میانگین آزمون تجربی	آزمون تجربی	زاویه ترک نمونه
۱/۶	۲۲۷۰	۲۳۰۷	۲۵۵۰ ۲۰۰۰ ۲۲۲۷ ۲۴۵۰	.
۱/۲	۲۱۰۷	۲۱۳۳	۲۱۲۵ ۲۱۵۶ ۲۰۷۵ ۲۱۷۵	۱۵
۳/۸	۲۰۰۲	۲۰۸۲	۲۰۴۵ ۱۹۸۸ ۲۱۷۵ ۲۱۲۰	۳۰
۹/۰	۲۱۳۱	۲۳۴۲	۲۴۰۰ ۲۳۲۵ ۲۴۳۵ ۲۲۰۷	۴۵
۱/۰	۳۲۲۳	۳۱۹۲	۳۱۸۷ ۳۲۵۰ ۳۲۰۰ ۳۱۳۰	۶۲/۵

*بارها بر حسب N می‌باشد

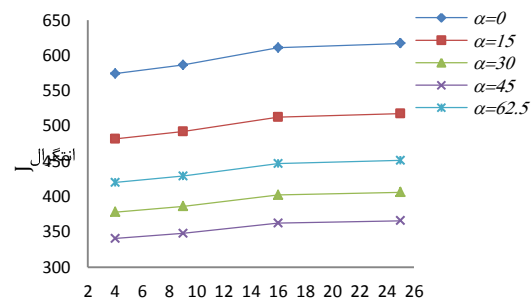
در جدول ۴، نتایج ضرایب شدت تنش مودهای اول و دوم در لحظه شکست قطعات حاصل از آزمون‌ها و تحلیل‌های المان محدود توسعه‌یافته ارائه شده‌اند. برای استخراج نتایج آزمون‌ها، بار شکست قطعه ثبت شده و سپس با استفاده از رابطه ۲۶، ضرایب شدت تنش مود اول و دوم در لحظه شکست، تعیین گردیده است.

مقایسه نتایج آزمون با نتایج تحلیل عددی المان محدود توسعه‌یافته، نشان می‌دهد نتایج عموماً کمتر از ۵ درصد اختلاف دارند. نتایج شبیه‌سازی ضریب شدت تنش مود دوم در نمونه آزمون مود دوم خالص (زاویه قرار گیری ترک ۶۲/۵ درجه)، بیشترین اختلاف را با نتایج آزمون دارد.



شکل ۷- انتگرال J بر حسب تعداد نقاط گاؤس در زیرمتشتّه‌های المان‌های غنی شده با توابع انشعاب (nF)

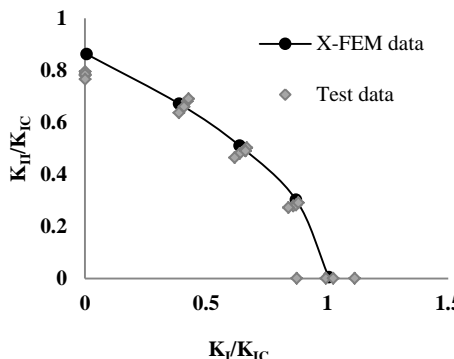
با توجه به شکل ۸، بنظر می‌رسد استفاده از تعداد ۴×۴ نقطه گاؤس در المان‌های مجاور المان نوک ترک، مناسب باشد.



شکل ۸- انتگرال J بر حسب تعداد نقاط گاؤس در المان‌های مجاور المان نوک ترک (nN)

۲-۸- بحث و بررسی نتایج
نتایج حاصل از شبیه‌سازی مسئله به روش المان محدود توسعه‌یافته استخراج و همراه با نتایج آزمون‌های تجربی نمونه فوق، در جداول ۳ و ۴ ارائه شده‌اند.

در جدول ۳، نتایج بار شکست بحرانی قطعه (P_{cr}) حاصل از آزمون‌ها و تحلیل‌های المان محدود توسعه‌یافته ارائه شده‌اند. مقایسه نتایج تحلیل عددی با میانگین نتایج آزمون تجربی در زوایای مختلف فرارگیری ترک، نشان می‌دهد که تقریباً در تمام موارد، کمتر از پنج درصد اختلاف وجود دارد. بیشترین اختلاف نتایج آزمون با تحلیل عددی در زاویه ۴۵ درجه مشاهده می‌شود که در حدود نه درصد است.



شکل ۹- مقایسه نتایج ضرایب شدت تنش مود ترکیبی برای آزمون‌های تجربی و تحلیل المان محدود توسعه یافته

بیشترین اختلاف بین نتایج آزمون با نتایج شبیه‌سازی المان محدود توسعه یافته، در حالت مود دوم خالص، وجود دارد. (در حدود ده درصد)، بر طبق گزارش مرجع [۱۷]، این اختلاف ناشی از عبارت غیرمنفرد تنش مماسی (T-stress) است. این عبارت، در حالتی که مود دوم غالب باشد، در رشد ترک تأثیر دارد. همان‌طور که قبلاً بیان شد، در تحلیل رشد ترک به روش المان محدود توسعه یافته از معیار رشد حداقل تنش مماسی استفاده شده است. با استفاده از معیاری که این عبارت را در نظر بگیرد، مانند معیار حداقل تنش مماسی بهبودیافته [۲۴]، این اختلاف کمتر می‌شود.

مسیر رشد ترک برای زوایای مختلف قرارگیری ترک در نمونه (α)، با استفاده از تحلیل المان محدود توسعه یافته تعیین گردیده است. این نتایج، در شکل ۱۰ ارائه شده است. همچنین در مرجع [۱۷]، مسیر رشد ترک در آزمون‌های تجربی تصویربرداری شده و برای زوایای مختلف قرارگیری ترک، مسیرهای رشد ترک در شکل ۱۱ نمایش داده شده است. همان‌طور که از شکل‌های ۱۰ و ۱۱ مشخص است، در زوایای مختلف، مسیرهای رشد ترک از لحاظ کیفی مشابه‌ت‌خوبی دارند. برای مقایسه کمی مسیر رشد ترک بین نتایج آزمون و تحلیل عددی، در شکل ۱۲، برای زوایای قرارگیری ترک در نمونه، 45° ، 45° ، $\alpha = 15^\circ$ ، مسیرهای رشد ترک روی هم ترسیم شده‌اند. تطابق خوبی بین مسیر رشد ترک در نتایج آزمون و تحلیل عددی وجود دارد. به‌نظر می‌رسد هرچه اثر مود دوم بیشتر می‌شود، نتایج مسیر رشد ترک با استفاده از تحلیل عددی کمی از نتایج تجربی فاصله می‌گیرد که این امر، به‌دلیل اثر عبارت T است.

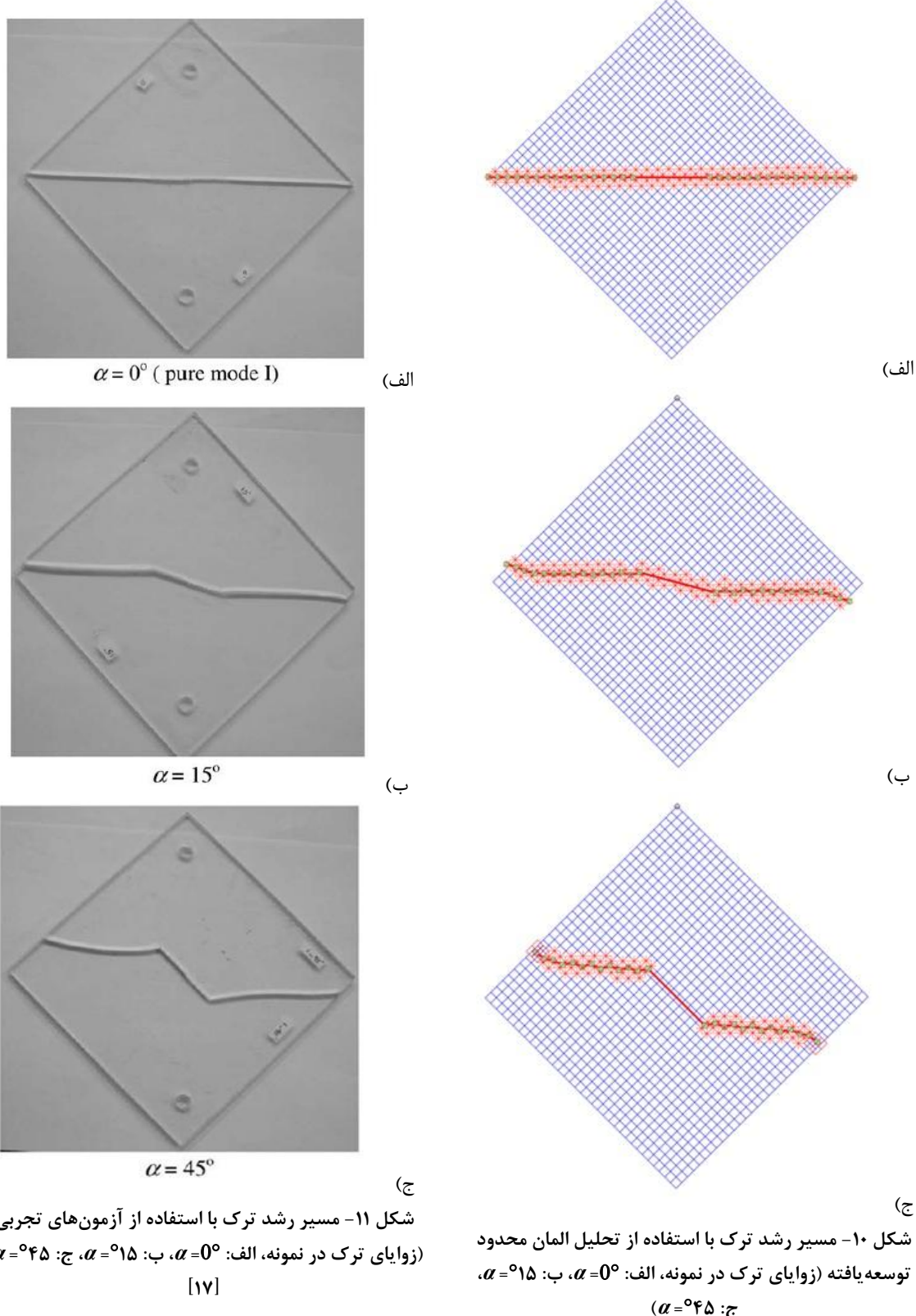
جدول ۴- ضرایب شدت تنش در لحظه شکست نمونه حاصل از آزمون‌ها و تحلیل‌های المان محدود توسعه یافته**

زاویه ترک نمونه	مود اول (آزمون)	مود اول (تحلیل)	درصد اختلاف	مود دوم (آزمون)	مود دوم (تحلیل)	درصد اختلاف	مود اول (آزمون)	مود اول (تحلیل)	درصد اختلاف
۶/۸	۱/۴۸۲
	۰/۰۰۴	۰/۴۰۱	۰/۶۷۸	۰/۱۸۹۳	۱/۱۴۶	۰/۰۶	۱/۳۴۰	۱/۱۶۲	۱/۳۲۳
	۱/۳۶۳
	۰/۳۷۰	۰/۳۷۶	۰/۳۶۲	۰/۳۸۷	۱/۰	۱/۱۶۰	۱/۱۱۷	۱/۱۶۰	۱۵
۵/۰	۰/۶۳۹	۰/۶۱۸	۰/۶۶۸	۰/۶۵۱	۱/۲	۰/۸۵۰	۰/۸۵۰	۰/۸۲۱	۳۰
	۰/۸۴۹	۰/۸۸۹	۰/۸۸۲	۰/۸۴۶	۰/۹۰۵	۰/۸۷۷	۰/۹۱۸	۰/۵۴۳	۴۵
	۰/۵۶۱	۰/۵۶۹	۰/۵۶۹	۰/۵۱۶	۱/۰۳۸	۱/۰۵۸	۱/۰۴۲	۰/۰۱۱	۶۲/۵
	۰/۵۱۶	۰/۰۱۱	۰/۰۱۱	۰/۰۱۹
۹/۳	۱/۰۱۹	۱/۰۱۹	۱/۰۱۹	۱/۰۱۹	۱/۰۱۹

**. ضرایب شدت تنش بر حسب MPa/m می‌باشند.

همچنین نتایج فوق، به صورت نموداری در شکل ۹ ترسیم گردیده است. در این شکل، نتایج ضرایب شدت تنش مود دوم بدون بعد بر حسب ضرایب شدت تنش مود اول بدون بعد در حالات مختلف و برای آزمون‌های تجربی و تحلیل‌های عددی ارائه شده است.

از جدول ۴ و شکل ۹، مشخص است که نتایج تحلیل عددی المان محدود توسعه یافته، به نتایج آزمون بسیار نزدیک است.



شکل ۱۱- مسیر رشد ترک با استفاده از آزمون‌های تجربی (زواياي ترک در نمونه، الف: $\alpha = 0^\circ$ ، ب: $\alpha = 15^\circ$ ، ج: $\alpha = 45^\circ$)
[۱۷]

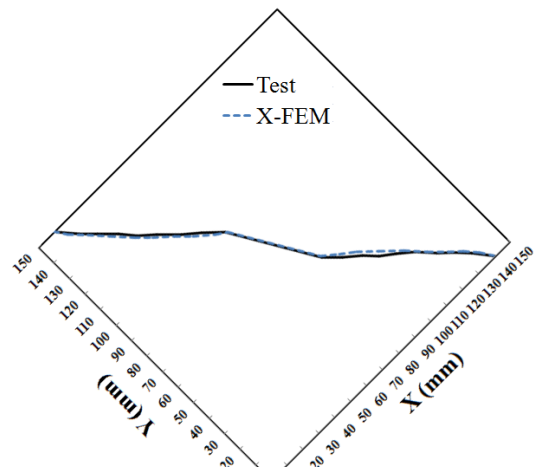
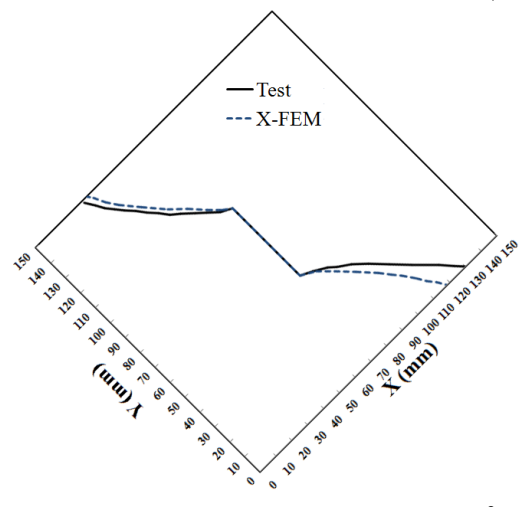
شکل ۱۰- مسیر رشد ترک با استفاده از تحليل المان محدود توسعه‌يافته (زواياي ترک در نمونه، الف: $\alpha = 0^\circ$ ، ب: $\alpha = 15^\circ$ ، ج: $\alpha = 45^\circ$)

شده است. هیچ‌گونه فرضیاتی در مقدار و زاویه رشد ترک در نظر گرفته نشده است. فرایند کامل بارگذاری و رشد ترک برای نمونه‌های مختلف، شبیه‌سازی شده است. برای شبیه‌سازی آزمون‌های مختلف تجربی، از یک مدل با مشبندی ثابت استفاده شده است که نسبت به مدل‌های المان محدود، تعداد المان بسیار کمتری دارد. برای تحلیل المان محدود، باید برای هر نمونه، مدل جدید با مشبندی خاص ایجاد گردد و تحلیل رشد ترک، مستلزم استفاده از روش‌های پرهزینه مانند، مشبندی مجدد است؛ بنابراین هزینه‌های محاسباتی به شدت کاهش یافته است.

همچنین انگرال‌گیری عددی در المان‌های غنی‌شده مورد بررسی قرار گرفته است. با استفاده از تأثیر تعداد نقاط گاؤس در این المان‌ها بر پارامتر انگرال J در لحظه شکست برای نمونه‌های مختلف، تعداد نقاط گاؤس بهینه در المان‌های غنی‌شده، تعیین گردید. تعداد نقاط گاؤس در زیرمثلاً های المان‌های غنی‌شده با تابع هویسايد سه عدد، تعداد نقاط گاؤس در زیرمثلاً های المان‌های غنی‌شده با توابع انشعاب هفت عدد و تعداد نقاط گاؤس در المان‌های مجاور المان نوک ترک در هر ضلع چهار عدد تعیین شد.

نتایج شبیه‌سازی‌های انجام شده با آزمون‌های تجربی مقایسه گردیده است. از معیار حداکثر تنش مماسی برای رشد ترک استفاده شده و برای استخراج ضرایب شدت تنش، روش انگرال تعاملی بکاربرده شده است. این شبیه‌سازی برای زوایای مختلف قرارگیری ترک، 0° ، 15° ، 30° ، 45° و 62.5° درجه انجام شده است. مقایسه نتایج شبیه‌سازی به روش المان محدود توسعه یافته با میانگین داده‌های آزمون‌های تجربی، نشان می‌دهد بار بحرانی و ضرایب شدت تنش در لحظه شکست قطعات، کمتر از ده درصد اختلاف دارند. این امر، دقت شبیه‌سازی را نشان می‌دهد. بیشترین اختلاف بین نتایج آزمون با نتایج شبیه‌سازی المان محدود توسعه یافته، در حالت مود دوم خالص (زاویه 62.5° درجه) وجود دارد که در حدود ده درصد است. این اختلاف، ناشی از عبارت غیرمنفرد تنش مماسی (T-stress) است.

برای زوایای قرارگیری ترک در نمونه، 45° ، $\alpha = 15^\circ$ ، مسیرهای رشد ترک با استفاده از روش المان محدود توسعه یافته شبیه‌سازی شده، با نتایج آزمون تجربی مقایسه شده است. تطابق خوبی بین مسیر رشد ترک در آزمون‌های تجربی و

(الف) $\alpha = 15^\circ$ (ب) $\alpha = 45^\circ$

شکل ۱۲- مقایسه مسیر رشد ترک در آزمون‌های تجربی و تحلیل المان محدود توسعه یافته (زوایای قرارگیری ترک در نمونه، الف: $\alpha = 15^\circ$ ، ب: $\alpha = 45^\circ$)

۹- نتیجه‌گیری و جمع‌بندی

در این پژوهش، ابتدا رشد ترک در حالت مود ترکیبی با استفاده از روش المان محدود توسعه یافته، بررسی گردیده و روابط مربوط ارائه گردید؛ سپس برای نمونه "ورق مریعی با بارگذاری قطری" رشد ترک تحت بارگذاری مود ترکیبی با استفاده از روش المان محدود توسعه یافته شبیه‌سازی شده است. مدل‌سازی انجام شده، در هر مرحله از تحلیل، با استفاده از معیارهای شکست، زاویه و مقدار رشد ترک تعیین

- [11] Williams J G, Ewing P D (1972) Fracture under complex stress—the angled crack problem. *Int J Fracture* 8(4): 441-446.
- [12] Yukio U, Kazuo I, Tetsuya Y, Mitsuru A (1983) Characteristics of brittle fracture under general combined modes including those under bi-axial tensile loads. *Eng Fract Mech* 18(6): 1131-1158.
- [13] Awaji H, Sato S (1978) Combined mode fracture toughness measurement by the disk test. *J Eng Mat* 100, 175.
- [14] Chang S H, Lee C I, Jeon S (2002) Measurement of rock fracture toughness under modes I and II and mixed-mode conditions by using disc-type specimens. *Eng Geol* 66(1): 79-97.
- [15] Richard H A, Benitz K (1983) A loading device for the creation of mixed mode in fracture mechanics. *Int J Fracture* 22(2): 55-58.
- [16] Lim I L, Johnston I W, Choi S K, Boland J N (1994) Fracture testing of a soft rock with semi-circular specimens under three-point bending. Part 2-mixed-mode. *Int J Rock Mech Min* 31(3): 199-212.
- [17] Ayatollahi M R, Aliha M R M (2009) Analysis of a new specimen for mixed mode fracture tests on brittle materials. *Eng Fract Mech* 76(11): 1563-1573.
- [18] Barber C B, Dobkin D P, Huhdanpaa H (1996). The quickhull algorithm for convex hulls. *ACM T Math Software* 22(4): 469-483.
- [19] Yau J F, Wang S S, Corten H T (1980) A mixed-mode crack analysis of isotropic solids using conservation laws of elasticity. *J Appl Mech* 47(2): 335-341.
- [20] Dolbow J, Moës N, Belytschko T (2000) Discontinuous enrichment in finite elements with a partition of unity method. *Finite Elem Anal Des* 36(3): 235-260.
- [21] Erdogan F, Sih G C (1963) On the crack extension in plates under plane loading and transverse shear. *J Basic Eng* 85(4): 519-525.
- [22] Arcan M, Hashin Z, Volosnin A (1978) A method to produce uniform plane-stress states with application to fibre-reinforced materials. *Exp Mech* 18(4):141–146
- [23] Bang, H, Kwon Y W (2000) The finite element method using MATLAB. Mechanical Engineering Series: CRC Press.
- [24] Ayatollahi M R, Aliha M R M (2005) Cracked Brazilian disc specimen subjected to mode II deformation. *Eng Fract Mech* 72(4): 493-503.

تحلیل‌های المان محدود توسعه‌یافته مشاهده می‌شود. در زاویه ۴۵ درجه، نتایج مسیر رشد ترک با استفاده از تحلیل عددی کمی از نتایج تجربی فاصله می‌گیرد. علت این مورد، در نظر نگرفتن اثر عبارت غیرمنفرد تنش مماسی (T-stress) در معیار حداکثر تنش مماسی می‌باشد. هرچه اثر مود دوم بیشتر باشد، این تنش بیشتر می‌شود.

۱۰- مراجع

- [1] Belytschko T, Black T. (1999) Elastic crack growth in finite elements with minimal remeshing. *Int J Numer Meth Engng* 45(5): 601-620.
- [2] Moës N, Dolbow J, Belytschko T (1999). A finite element method for crack growth without remeshing. *Int J Numer Meth Engng* 46(1): 131-150.
- [3] Belytschko T, Moës N, Usui S, Parimi C (2001) Arbitrary discontinuities in finite elements. *Int J Numer Meth Engng* 50(4): 993-1013.
- [4] Dolbow J, Moës N, Belytschko T (2000) Modeling fracture in Mindlin-Reissner plates with the extended finite element method. *Int J Solids Struct* 37(48): 7161-7183.
- [5] Daux C, Moës N, Dolbow J, Sukumar N, Belytschko T (2000) Arbitrary branched and intersecting cracks with the extended finite element method. *Int J Numer Meth Engng* 48: 1741-1760.
- [6] Liu X Y, Xiao Q Z, Karihaloo B L (2004) XFEM for direct evaluation of mixed mode SIFs in homogeneous and bi-materials. *Int J Numer Meth Engng* 59(8): 1103-1118.
- [7] Chessa J, Belytschko T (2003) An extended finite element method for two-phase fluids. *J Appl Mech* 70(1): 10-17.
- [8] Grégoire D, Maigre H, Rethore J, Combescure A (2007) Dynamic crack propagation under mixed-mode loading—comparison between experiments and X-FEM simulations. *Int J Solids Struct* 44(20): 6517-6534.
- [9] Sabsabi M, Giner E, Fuenmayor F J (2011) Experimental fatigue testing of a fretting complete contact and numerical life correlation using X-FEM. *Int J of Fatigue* 33(6): 811-822.
- [10] Yan Y, Park S H (2008) An extended finite element method for modeling near-interfacial crack propagation in a layered structure. *Int J Solids Struct* 45(17): 4756-4765.